

1507
СООБЩЕНИЯ
ОБЪЕДИНЕННОГО
ИНСТИТУТА
ЯДЕРНЫХ
ИССЛЕДОВАНИЙ

Дубна



P2 - 4937

Экз. чит. зала

ЛАБОРАТОРИЯ ВЫЧИСЛИТЕЛЬНОЙ ТЕХНИКИ
И АВТОМАТИЗАЦИИ

Л.С. Ажгирей, В.И. Чижиков

ПОЛЯРИЗАЦИЯ НУКЛОНОВ В РЕАКЦИЯХ
 $NN \rightarrow NN \pi$ ПРИ 669 МЭВ В МОДЕЛИ
ОДНОПИОННОГО ОБМЕНА

1970

P2 - 4937

Л.С. Ажгирей, В.И. Чижиков

ПОЛЯРИЗАЦИЯ НУКЛОНОВ В РЕАКЦИЯХ
 $NN \rightarrow NN$ ПРИ 669 МЭВ В МОДЕЛИ
ОДНОПИОННОГО ОБМЕНА

Объединенный институт
ядерных исследований
БИБЛИОТЕКА

Введение

Исследование процессов одиночного образования пионов в протон-протонных взаимодействиях при энергиях ≈ 1 Гэв показало (см., например, /1-3/), что эти процессы происходят преимущественно с малой передачей импульса частице отдачи (в угловых распределениях вторичных нуклонов имеются ярко выраженные пики в направлениях вперед-назад в с.ц.м.). Это навело на мысль о "периферическом" характере этих неупругих взаимодействий, т.е. о том, что механизм взаимодействия может быть описан с помощью диаграмм, учитывающих обмен виртуальным пионом /4-6/. При этом данные о реакциях $NN \rightarrow NN\pi$ оказываются связанными с амплитудами $\pi-N$ рассеяния, вычисленными вне массовой поверхности. В дальнейшем было показано /7/, что модель однопионного обмена, модифицированная введением формфактора, хорошо описывает экспериментальные данные об энергетических спектрах вторичных нуклонов в процессах одиночного образования пионов при энергиях 0,97, 2 и 2,85 Гэв.

Можно привести ряд аргументов в пользу того, что неупругое нуклон-нуклонное взаимодействие в известной мере носит периферический характер и при более низких энергиях. Так, недавно периферическая модель применялась для описания данных об образовании π^0 -мезонов в $p-p$ взаимодействии при энергии 610 Мэв /8/; оказалось, что с помощью этой модели удастся получить хорошее описание экспериментальных угловых распределений вторичных протонов, отвечающих малым передачам импульса. В пользу периферического характера неупругих процессов при 660 Мэв свидетельствуют и результаты фазового анализа упругого $p-p$

рассеяния при этой энергии. Как известно /9/, для удовлетворительного описания экспериментальных данных необходимо учитывать мезообразование, наряду с ${}^3P_{0,1,2}$ и 1D_2 , также и их "периферических" ${}^3F_{2,3}$ начальных состояний P-P системы.

Следует отметить, что дифференциальные сечения образования вторичных частиц в реакциях $NN \rightarrow NN\pi$, вычисленные в рамках однопионной обменной модели, в основном пропорциональны сумме квадратов модулей амплитуд виртуального π -N рассеяния. Поэтому при энергиях ≈ 1 Гэв основной вклад в вычисленные угловые распределения и энергетические спектры вторичных частиц дает резонансная P_{33} - амплитуда, а роль остальных состояний сравнительно невелика. Выражения же для поляризации вторичных нуклонов, или асимметрии испускания пионов, образованных поляризованными нуклонами /10/, состоят из членов, представляющих собой в основном интерференцию резонансной амплитуды с нерезонансными. В связи с этим экспериментальное исследование поляризационных эффектов в неупругих нуклон-нуклонных взаимодействиях и интерпретация их в рамках однопионной обменной модели дает возможность проверить некоторые предположения модели, выяснить роль нерезонансных амплитуд π -N рассеяния и их поведение вне массовой поверхности.

В настоящей работе на основе однопионной обменной модели рассматривается поляризация вторичных протонов, образуемых протонами с энергией 669 Мэв, в реакциях



При этом учитываются вклады всех возможных диаграмм однопионного обмена и интерференция между ними и используется информация о фазовых сдвигах π -N рассеяния в области энергий от 0 до 220 Мэв. В описываемых расчетах сделано пренебрежение взаимодействием нуклонов в конечном состоянии, приводящим к реакции $p + p \rightarrow d + \pi^+$. Учет этого взаимодействия сильно осложнил бы вычисления; с другой стороны, влияние его на исследуемые реакции (1) и (2) проявляется лишь через требование

унитарности полной S-матрицы, что, по-видимому, более существенно для нормировки дифференциальных сечений и описания формы спектров вторичных частиц, чем при вычислении поляризационных эффектов. Тщательное исследование этого вопроса было бы весьма интересным.

Кинематические соотношения

Процессы одиночного образования пионов (1) и (2) описываются в однопионной обменной модели с помощью диаграмм, приведенных на рис.1. Сплошные линии на рис. 1 представляют нуклоны, штриховые - пионы. Диаграммы 1-4 отличаются друг от друга заменой начальных и конечных нуклонов. Через p_1, p_2, q_1, q_2 и q обозначены четырехмерные импульсы падающего протона, протона мишени, вторичного протона, вторичного нейтрона (протона) для реакции (1) (реакции (2)) и пиона, соответственно. Обозначим через $\vec{p}_1, \vec{p}_2, \vec{q}_1, \vec{q}_2, \vec{q}$ модули соответствующих трехмерных импульсов $\vec{p}_1, \vec{p}_2, \vec{q}_1, \vec{q}_2, \vec{q}$, через m и μ - массы нуклона и пиона, через T_0 и T_1 - кинетические энергии падающего и вторичного (регистрируемого) протонов.

Для вычисления наблюдаемых на опыте величин удобно ввести лабораторную систему координат с осью z' , направленной вдоль вектора $\vec{q}_2 + \vec{q} = \vec{p}_1 - \vec{q}_1$ (\vec{q}_1 - импульс регистрируемой частицы), и с плоскостью $x'o'z'$, совпадающей с плоскостью рассеяния (т.е. проходящей через векторы \vec{p}_1 и \vec{q}_1) (см. рис. 2). Обозначим через θ и ϕ полярный и азимутальный углы вылета пиона относительно оси z' , через θ_1 - угол вылета вторичного протона относительно направления падающего протона. Компоненты 4-импульсов участвующих в реакциях (1) и (2) частиц в выбранной системе координат приведены в таблице 1. В дальнейшем используется метрика, в которой $ab = \vec{a}\vec{b} - a_0b_0$.

Связь между импульсом пиона \vec{q} и углом θ выражается соотношением

$$q = \mu \frac{c_0 \cos \theta \pm c_1 \sqrt{r^2 \cos^2 \theta - c_1^2 + c_0^2}}{c_1^2 - r^2 \cos^2 \theta}, \quad (3)$$

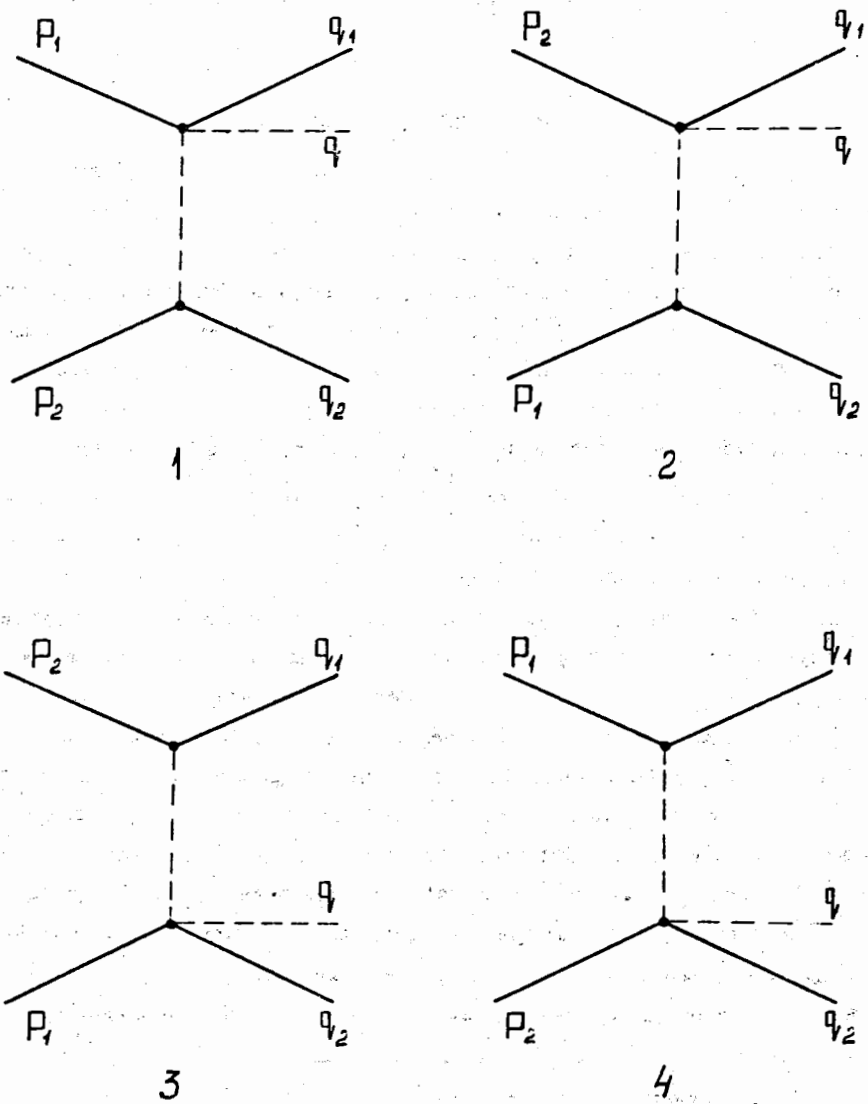


Рис.1. Диаграммы однопионного обмена для реакций $NN \rightarrow NN\pi$.

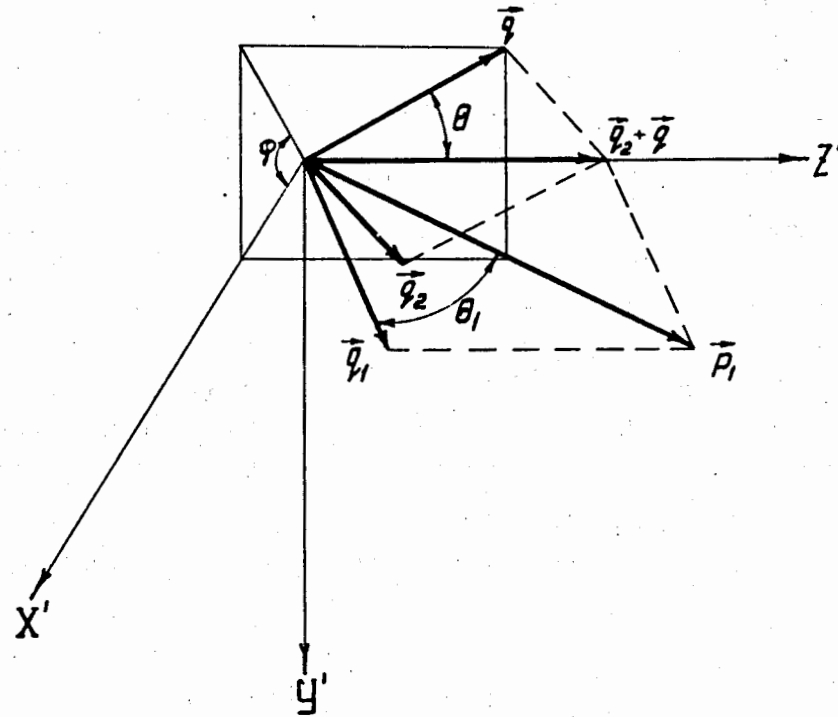


Рис.2. Лабораторная система координат, использованная в расчетах поляризации вторичных протонов.

где

$$r = |\vec{q} + \vec{q}'| = \sqrt{\tilde{p}_1^2 + \tilde{q}_1^2 - 2\tilde{p}_1\tilde{q}_1 \cos \theta_1},$$

$$c_1 = T_0 + m - T_1, 2c_0\mu = c_1^2 + \mu^2 - r^2 - m^2.$$

Таблица 1

	x'	y'	z'	E
p_1	$\tilde{p}_1 \tilde{q}_1 \sin \theta_1 / \vec{q}_2 + \vec{q}' $	0	$\tilde{p}_1 (\tilde{p}_1 \tilde{q}_1 \cos \theta_1) / \vec{q}_2 + \vec{q}' $	$T_0 + m$
p_2	0	0	0	m
q_1	$\tilde{p}_1 \tilde{q}_1 \sin \theta_1 / \vec{q}_2 + \vec{q}' $	0	$\tilde{q}_1 (\tilde{p}_1 \cos \theta_1 - \tilde{q}_1) / \vec{q}_2 + \vec{q}' $	$T_1 + m$
q_2	$-\tilde{q}_1 \sin \theta \cos \phi$	$-\tilde{q}_1 \sin \theta \sin \phi$	$ \vec{q}_2 + \vec{q}' - \tilde{q}_1 \cos \theta$	$T_0 + m - T_1 - \sqrt{\tilde{q}_1^2 + \mu^2}$
q	$\tilde{q}_1 \sin \theta \cos \phi$	$\tilde{q}_1 \sin \theta \sin \phi$	$\tilde{q}_1 \cos \theta$	$\sqrt{\tilde{q}_1^2 + \mu^2}$

Из условия $\tilde{q}_1 \geq 0$ можно найти, что в случае $c_0 \geq c_1$ в выражении (3) следует брать знак "+", и при этом $\cos \theta$ может принимать значения от $x_1 - 1$ до $x_1 + 1$; в случае $c_0 < c_1$ в выражении (3) нужно учитывать оба знака, причем $x_1 = \sqrt{c_1^2 - c_0^2} / r$, $x_2 = +1$.

Введем далее следующие релятивистские кинематические инварианты:

$$\begin{aligned} \omega^2 &= -(q + q_1)^2, \Delta^2 = (p_2 - q_2)^2, t^2 = (p_1 - q_1)^2, \\ u^2 &= -(q + q_2)^2, \bar{t}^2 = (p_2 - q_1)^2, \bar{\Delta}^2 = (p_1 - q_2)^2. \end{aligned} \quad (4)$$

Здесь $\omega(u)$ — полная энергия частиц $q, q_1 (q, q_2)$ в их с.ц.м., где $\vec{q} + \vec{q}_1 = 0$ ($\vec{q} + \vec{q}_2 = 0$), а Δ^2 и t^2 — квадраты передачи 4-импульсов; $\bar{\Delta}^2$ и \bar{t}^2 получаются из Δ^2 и t^2 заменой p_1 на p_2 . Любые кинематические переменные (импульсы, энергии, углы рассеяния) в любой системе координат могут быть выражены через набор кинематических инвариантов (4).

Для того чтобы соотношения, относящиеся к разным диаграммам рис. 1, можно было записывать единым образом (что существенно при

составлении программы численных расчетов), введем 4-векторы z_1, z_2, z_3, z_4 , которые для каждой из диаграмм принимают значения, указанные в таблице 2. Нетрудно убедиться, что инварианты U, T и D , определенные соотношениями

$$\begin{aligned} U &= m^2 + \mu^2 - 2qz_3, \\ T &= -2m^2 - 2z_2 z_4, \\ D &= -2m^2 - 2z_1 z_3, \end{aligned} \quad (5)$$

Таблица 2

Диаграмма	z_1	z_2	z_3	z_4	U	T	D	Γ_1	Γ_2
1	p_1	p_2	q_1	q_2	ω^2	Δ^2	t^2	m_1	γ_5
2	p_2	p_1	q_1	q_2	ω^2	$\bar{\Delta}^2$	\bar{t}^2	m_2	γ_5
3	p_1	p_2	q_2	q_1	u^2	\bar{t}^2	$\bar{\Delta}^2$	γ_5	m_3
4	p_2	p_1	q_2	q_1	u^2	t^2	Δ^2	γ_5	m_4

для каждой из диаграмм принимают значения, указанные в таблице 2. Если ввести функцию

$$\text{IMP}(a, b, c) = \frac{1}{2} \sqrt{a - 2(b+c) + \frac{(b-c)^2}{a}},$$

то

$$P = \text{IMP}(U, m^2, -T) \quad (6)$$

представляет величину трехмерного импульса начального протона, участвующего в виртуальном $\pi-N$ рассеянии, в с.ц.м. вторичных пиона и нуклона при полной энергии в этой системе \sqrt{U} ; полная энергия этого протона

$$E_1 = \sqrt{P^2 + m^2}. \quad (7)$$

Импульс пиона в той же с.ц.м. дается формулой

$$Q = \text{IMP}(U, \mu^2, m^2), \quad (8)$$

энергия вторичного нуклона

$$E_2 = \sqrt{Q^2 + m^2}, \quad (9)$$

косинус угла между векторами импульсов начального и вторичного нуклонов

$$\cos(D) = \frac{1}{2QP} \{2E_1 E_2 - 2m^2 - D\}. \quad (10)$$

Дифференциальное сечение и поляризация

Матричный элемент для реакций (1) и (2), соответствующий диаграммам рис. 1, дается выражением

$$M = \frac{i m^2}{(2\pi)^{7/2} \sqrt{2q_0 q_{10} q_{20} p_{10} p_{20}}} \delta(q + q_1 + q_2 - p_1 - p_2) (M_1 - M_2 - M_3 + M_4), \quad (11)$$

где $q_0, q_{10}, q_{20}, p_{10}, p_{20}$ — энергии частиц с импульсами q, q_1, q_2, p_1, p_2 , соответственно, индексы у M_i указывают соответствующую диаграмму, а знаки "-" обусловлены идентичностью начальных и конечных нуклонов. В явном виде M_i с учетом обозначений таблицы 2 записываются следующим образом:

$$M_1 = \Pi(T) \bar{U}(z_4) \Gamma_2 U(z_2) \bar{U}(z_3) \Gamma_1 U(z_1). \quad (12)$$

Здесь $U(z)$ — спинор, описывающий нуклон с импульсом z , матрицы $\Gamma = \Pi(U, D, T)$ в соответствующих вершинах диаграмм описывают виртуальное π -N рассеяние, а функция

$$\Pi(T) = \sqrt{4\pi} g \frac{1}{T+\mu} F(T) \quad (13)$$

представляет собой произведение константы связи пиона с нуклоном g на пропагатор пиона и на пионный формфактор нуклона $F(T)$. Матрицы $m(U, D, T)$ связаны с инвариантными амплитудами рассеяния $a(U, D, T)$ и $b(U, D, T)$ соотношением

$$m(U, D, T) = a(U, D, T) + ib(U, D, T) \hat{q}, \quad (14)$$

где $\hat{q} = \gamma \mathbf{q} = \gamma \vec{q} - \gamma \alpha_0$.

Дифференциальное сечение реакций (1) и (2), выраженное через матричный элемент M , имеет вид

$$d\sigma = \frac{m^4}{2(2\pi)^5 j} \sum |M|^2 \delta(q + q_1 + q_2 - p_1 - p_2) \frac{d^3 q d^3 q_1 d^3 q_2}{q_0 q_{10} q_{20}}, \quad (15)$$

где $j = \sqrt{(p_1 p_2)^2 - m^4}$ — инвариантный поток падающих частиц, а знак суммы означает, что необходимо произвести усреднение по начальным и суммирование по конечным спиновым состояниям.

Для вычисления поляризационных эффектов удобно воспользоваться матрицей плотности конечных состояний ρ_f для процессов (1) и (2), нормированной так, что

$$d\sigma = \frac{m^4}{2(2\pi)^5 j} \text{Sp} \rho_f \delta(q + q_1 + q_2 - p_1 - p_2) \frac{d^3 q d^3 q_1 d^3 q_2}{q_0 q_{10} q_{20}}. \quad (16)$$

Если ввести проецирующие операторы для состояний начальных и конечных нуклонов в виде

$$\Lambda(z) = \frac{\hat{z} + im}{2im},$$

то из выражения для матричных элементов (12), снова учитывая обозначения таблицы 2, можно получить следующую формулу для матрицы плотности:

$$\rho_r = \frac{1}{4} \sum_{i=1}^4 \Pi_i^2(T) \Lambda(z_3) m_i \Lambda(z_1) \bar{m}_i \Lambda(z_3) \times \Lambda(z_4) \gamma_5 \Lambda(z_2) \bar{\gamma}_5 \Lambda(z_4) -$$

$$- \frac{1}{4} \sum_{i \neq k=1,2} \Pi_i(T) \Pi_k(T) \Lambda(z_3) m_i \Lambda(z_1) \bar{\gamma}_5 \Lambda(z_4) \gamma_5 \Lambda(z_2) \bar{m}_k \Lambda(z_3) - \quad (17)$$

$$- \frac{1}{4} \sum_{i \neq k=1,3} \Pi_i(T) \Pi_k(T) \Lambda(z_3) m_i \Lambda(z_1) \bar{m}_k \Lambda(z_4) \gamma_5 \Lambda(z_2) \bar{\gamma}_5 \Lambda(z_3).$$

Здесь первая сумма представляет собой вклады отдельных диаграмм, а последующие суммы соответствуют интерференционным членам. Множитель $\frac{1}{4}$ возникает вследствие того, что начальные нуклоны неполяризованы. В интерференционных членах соответствие импульсов z с таблицей 2 сделано по первому индексу i .

Поляризация вторичных нуклонов в процессах (1) и (2) определяется выражением

$$P_\mu d\sigma = \frac{m^4}{2(2\pi)^5 j} \text{Sp} i \gamma_5 \gamma_\mu \rho_r \delta(q + q_1 + q_2 - p_1 - p_2) \frac{d^3 q d^3 q_1 d^3 q_2}{q_0 q_{10} q_{20}} \quad (18)$$

Наблюдаемые на опыте величины для реакций с тремя конечными частицами в общем случае зависят от пяти независимых кинематических переменных. В том случае, когда в эксперименте регистрируются энергия и направление испускания одной из вторичных частиц, три из пяти переменных оказываются фиксированными, и выражения (16) и (18) нужно проинтегрировать по двум оставшимся переменным. Интегрируя, например, по углам вылета пиона в описанной выше лабораторной системе координат с учетом δ -функции, получим:

$$\frac{d^2 \sigma}{dT_1 d\Omega_1} = \frac{m^4 q_1}{2(2\pi)^5 j} \int_0^{2\pi} d\phi \int_{x_1}^{x_2} \text{Sp} \rho_r \rho_k d \cos \theta, \quad (19)$$

$$P_\mu \frac{d^2 \sigma}{dT_1 d\Omega_1} = \frac{m^4 q_1}{2(2\pi)^5 j} \int_0^{2\pi} d\phi \int_{x_1}^{x_2} \text{Sp} i \gamma_5 \gamma_\mu \rho_r \rho_k d \cos \theta. \quad (20)$$

$$\rho_k = \frac{\bar{q}^2}{c_1 \bar{q} - \gamma q_0 \cos \theta}$$

представляет собой фазовый множитель.

В случае, когда в реакциях (1) и (2) регистрируется только один вторичный нуклон, отличными от нуля компонентами его поляризации являются компоненты, перпендикулярные к плоскости реакции. Действительно, при сохранении четности поляризация должна быть направлена вдоль псевдовектора, а единственный псевдовектор, который можно построить из импульсов p_1 , p_2 и q_1 , есть

$$n_\mu = \frac{N_\mu}{\sqrt{N^2}}, \quad N_\mu = i \epsilon_{\mu\nu\rho\sigma} p_{1\nu} p_{2\rho} q_{1\sigma},$$

где $\epsilon_{\mu\nu\rho\sigma}$ - антисимметричный тензор 4-го ранга. Таким образом, поляризация вторичных протонов от реакций (1) и (2) дается выражением:

$$P(T_1, \theta_1) = \frac{\int_0^{2\pi} d\phi \int_{x_1}^{x_2} \text{Sp} i \gamma_5 \hat{n} \rho_r \rho_k d \cos \theta}{\int_0^{2\pi} d\phi \int_{x_1}^{x_2} \text{Sp} \rho_r \rho_k d \cos \theta} \quad (21)$$

Используя формулу (17) для матрицы плотности, можно вычислить $\text{Sp} \rho_r$ и $\text{Sp} i \gamma_5 \hat{n} \rho_r$. При этом

$$\text{Sp} \rho_r = A_1 + A_2 + A_3 + A_4 + A_{12} + A_{13} + A_{24} + A_{34},$$

$$\text{Sp} i \gamma_5 \hat{n} \rho_r = B_1 + B_2 + B_{12} + B_{13} + B_{24} + B_{34}. \quad (22)$$

Члены с одиночными индексами, входящие в формулы (22), отвечают вкладом соответствующих отдельных диаграмм, а слагаемые с двойными индексами представляют вклады от интерференции разных диаграмм. Отсутствие членов B_3 и B_4 , а также членов, отвечающих интерференции между диаграммами 1 и 4, 2 и 3, обусловлено тем, что обмениваемый пион является псевдоскалярной частицей.

Выражения для A_i , A_{ik} , B_i , B_{ik} (с учетом обозначений таблицы 2) имеют вид:

$$A_i = \Pi_i^2(T) \frac{m^2 + z_2 z_4}{4m^4} \{ |a(U, D, T)|^2 (z_1 z_3 - m^2) - |b(U, D, T)|^2 [2z_1 q \cdot z_3 q +$$

$$+ \mu (z_1 z_3 + m^2)] - 2m(z_1 q + z_3 q) \text{Re} a(U, D, T) b^*(U, D, T) \}.$$

$$A_{ik} = \Pi_i(T) \Pi_k(T) \{ \text{Re} a_i a_k^* I_{ik}^a + \text{Re} b_i a_k^* I_{ik}^{ba} + \text{Re} a_i b_k^* I_{ik}^{ab} - \text{Re} b_i b_k^* I_{ik}^b \}.$$

Для $i, k = 1, 2$ или $3, 4$:

$$I_{ik}^a = \frac{1}{8m^2} (2z_1 z_2 - z_1 q - z_2 q - z_3 q) + \frac{1}{8m^4} \{ z_1 z_3 (2z_2 z_3 + z_2 q) + z_1 q \cdot z_2 z_3 - z_1 z_2 \cdot z_3 q \},$$

$$I_{ik}^{ba} = \frac{-\mu^2 - 2z_2 q}{8m} - \frac{\mu^2}{8m^3} (z_1 z_2 + z_1 z_3 - z_2 z_3) - \frac{1}{4m^3} \{ z_2 q (z_1 z_3 + z_1 q) + z_3 q (z_1 q + z_2 z_3 - z_1 z_2) \},$$

$$I_{ik}^{ab} = -\frac{\mu^2 + 2z_1 q}{8m} - \frac{\mu^2}{8m^3} (z_1 z_2 - z_1 z_3 + z_2 z_3) - \frac{1}{4m^3} \{ z_1 q (z_2 z_3 + z_2 q) + z_3 q (z_1 z_3 + z_2 q - z_1 z_2) \},$$

$$I_{ik}^b = \frac{\mu^2}{4} + \frac{\mu^2}{8m^2} (2z_1 z_3 + 2z_2 z_3 + z_1 q + z_2 q + z_3 q) + \frac{1}{4m^2} z_3 q (z_1 q + z_2 q - z_3 q) + \frac{\mu^2}{8m^4} \{ z_1 z_3 (2z_2 z_3 + z_2 q) + z_1 q \cdot z_2 z_3 + z_1 z_2 \cdot z_3 q \} + \frac{z_3 q}{4m^4} \{ z_1 q (2z_2 z_3 + z_2 z_3) + z_1 z_3 \cdot z_2 q - z_1 z_2 \cdot z_3 q \}.$$

Для $i, k = 1, 3$ или $3, 4$:

$$I_{ik}^a = \frac{1}{8m^2} (2z_1 z_2 + z_1 q - z_2 q + z_3 q) + \frac{1}{8m^4} \{ z_1 z_3 (2z_2 z_3 + z_2 q) + z_1 q \cdot z_2 z_3 - z_1 z_2 \cdot z_3 q \},$$

$$I_{ik}^{ba} = \frac{\mu^2 - 2z_2 q}{8m} - \frac{\mu^2}{8m^3} (z_1 z_2 - z_1 z_3 - z_2 z_3) - \frac{1}{4m^3} \{ z_2 q (z_1 z_3 + z_1 q) + z_3 q (z_2 z_3 - z_1 z_2 - z_1 q) \},$$

$$I_{ik}^{ab} = \frac{\mu^2 - 2z_3 q}{8m} - \frac{\mu^2}{8m^3} (z_1 z_3 - z_1 z_2 - z_2 z_3) - \frac{1}{4m^3} \{ z_1 q (z_1 z_3 - z_1 z_2) + z_3 q \cdot z_2 z_3 \},$$

$$I_{ik}^b = \frac{\mu^2}{4} + \frac{\mu^2}{8m^2} (2z_1 z_3 + 2z_2 z_3 - z_1 q + z_2 q - z_3 q) + \frac{1}{4m^2} z_1 q (z_2 q - z_1 q + z_3 q) + \frac{\mu^2}{8m^4} \{ z_1 z_3 (2z_2 z_3 + z_2 q) - z_1 q \cdot z_2 z_3 - z_1 z_2 \cdot z_3 q \} + \frac{z_1 q}{4m^4} \{ z_3 q (2z_2 z_3 - z_1 z_2) + z_1 z_3 \cdot z_2 q - z_1 q \cdot z_2 z_3 \}.$$

$$B_{ik} = \Pi_1 \Pi_k \frac{m^2 + z_2 z_4}{2m^4} \text{Im}_a(U, D, T) b^*(U, D, T) d_1.$$

$$B_{ik} = \Pi_1 \Pi_k (\text{Im}_a a_k^* R_{ik}^a + \text{Im}_b b_k^* R_{ik}^{ba} + \text{Im}_a b_k^* R_{ik}^{ab} + \text{Im}_b b_k^* R_{ik}^b),$$

$$R_{12}^a = \frac{1}{8m^3} (d_1 - d_2 + d_3 + 2d_4),$$

$$R_{12}^{ba} = \frac{1}{8m^2} (d_1 - d_2 - d_3) + \frac{1}{8m^4} \{ p_2 q_1 (d_3 - d_1) - q_1 q_2 d_3 + p_2 q_2 d_1 + p_1 q (d_4 - d_2) \},$$

$$R_{12}^{ab} = \frac{1}{8m^2} (d_1 - d_2 - d_3) + \frac{1}{8m^4} \{ q_1 q (d_3 + d_4) - p_2 q (d_3 - d_1) + p_2 q (d_4 + d_1) - p_1 q_2 d_2 \},$$

$$R_{12}^b = \frac{1}{8m^3} (d_1 - d_2 - d_3) (q_1 q + p_2 q - q_2 q + p_1 q),$$

$$R_{34}^a = \frac{1}{8m^3} (d_1 - d_2 - d_3 + 2d_4),$$

$$R_{34}^{ba} = \frac{1}{8m^2} (d_1 - d_2 - d_3) + \frac{1}{8m^4} \{ p_1 q_1 (d_3 + d_2) - q_1 q (d_3 + d_4) + p_1 q (d_4 - d_2) - p_2 q_2 d_1 \},$$

$$R_{34}^b = \frac{1}{8m^2} (d_1 - d_2 - d_3) + \frac{1}{8m^4} \{ q_1 q_2 d_3 + p_1 q_2 d_2 + p_2 q (d_1 + d_4) - p_1 q_1 (d_2 + d_3) \},$$

$$R_{34}^{ab} = \frac{1}{8m^3} (d_1 - d_2 - d_3) (p_1 q - q_1 q + p_2 q + q_2 q).$$

Для $i, k = 1, 3$ или $2, 4$:

$$R_{ik}^a = \frac{1}{8m^3} (-d_1 - d_2 + d_3 + 2d_4),$$

$$R_{ik}^{ba} = \frac{1}{8m^2} (d_1 - d_2 - d_3) + \frac{1}{8m^4} \{ z_2 q_1 (d_3 - d_1) - q_1 q_2 d_3 + z_2 q_2 d_1 + z_1 q (d_4 - d_2) \},$$

$$R_{1k}^{ab} = \frac{1}{8m^2} (d_1 - d_2 - d_3) + \frac{1}{8m^4} \{-z_2 q_1 (d_3 - d_1) + q_1 q_2 d_3 - z_2 q_2 d_1 + z_1 q (d_4 - d_2)\},$$

$$R_{1k}^b = \frac{1}{8m^3} \{\mu^2 (d_4 - d_2) + q_1 q d_1 + z_2 q (d_3 - 2d_1) + z_1 q (d_1 - d_2 - d_3) + q_2 q (d_1 - d_3)\}.$$

$$d_1 = i \epsilon_{\mu\nu\rho\sigma} n_\mu z_{1\nu} q_{1\rho} q_\sigma,$$

$$d_2 = i \epsilon_{\mu\nu\rho\sigma} n_\mu z_{2\nu} q_{1\rho} q_\sigma,$$

$$d_3 = i \epsilon_{\mu\nu\rho\sigma} n_\mu z_{1\nu} z_{2\rho} q_\sigma,$$

$$d_4 = i \epsilon_{\mu\nu\rho\sigma} n_\mu z_{1\nu} z_{2\rho} q_{1\sigma}.$$

Амплитуды π -N рассеяния

В модели однопионного обмена измеряемые при исследовании реакций (1) и (2) величины выражаются через амплитуды π -N рассеяния с учетом виртуальности обмениваемого пиона. Это означает, что необходимо знать поведение амплитуд π -N рассеяния вне массовой поверхности. Связь виртуального π -N рассеяния с реальным в общем случае неизвестна. В работах /11-13/ эта связь была установлена в рамках одномерных дисперсионных соотношений в предположении, что в интегральные уравнения основной вклад дает резонансное (3/2, 3/2)-состояние.

Для вычисления амплитуд π -N рассеяния в настоящей работе были использованы результаты фазового анализа данных по π -N рассеянию /14/. Из результатов этого анализа и кинематики реакций (1) и (2) при 869 Мэв следует, что в разложении амплитуд π -N рассеяния по парциальным волнам достаточно ограничиться S- и P-состояниями. В интервале кинетической энергии падающего пиона от 0 до 250 Мэв значения фазовых сдвигов работы /14/ хорошо аппроксимируются следующими аналитическими зависимостями, найденными методом наименьших квадратов:

$$\delta(S_{31}) = (-0,060 \pm 0,013)Q + (-0,093 \pm 0,024)Q^2 + (0,020 \pm 0,010)Q^3,$$

$$\delta(P_{31}) = (-0,054 \pm 0,004)Q^3 + (0,019 \pm 0,002)Q^4,$$

$$\delta(P_{33}) = (0,496 \pm 0,033)Q^3 + (-0,975 \pm 0,081)Q^4 + (1,007 \pm 0,063)Q^5 + (-0,288 \pm 0,015)Q^6, \quad (23)$$

$$\delta(S_{11}) = (0,304 \pm 0,016)Q + (-0,266 \pm 0,032)Q^2 + (0,090 \pm 0,014)Q^3,$$

$$\delta(P_{11}) = (-0,098 \pm 0,005)Q^3 + (0,083 \pm 0,008)Q^4 + (-0,012 \pm 0,003)Q^5,$$

$$\delta(P_{13}) = (-0,021 \pm 0,006)Q^3 + (0,024 \pm 0,008)Q^4 + (-0,009 \pm 0,003)Q^5,$$

(значения импульса пиона в с.ц.м. Q следует брать в единицах μ , при этом значения фазовых сдвигов получаются в радианах). Соответствующие парциально-волновые амплитуды связаны с фазовыми сдвигами соотношением:

$$f_{L, 21, 2J} = \frac{1}{2iQ} \{ \exp[2i\delta(L_{21, 2J})] - 1 \}. \quad (24)$$

Запишем матрицу π -N рассеяния в виде

$$m(U, D, T) = \frac{4\pi\sqrt{U}}{m} \left(f_1 + \frac{\vec{\sigma}_{z_3} \cdot \vec{\sigma}_{z_1}}{z_3 z_1} f_2 \right). \quad (25)$$

Здесь $f_1(U, D, T)$ и $f_2(U, D, T)$ представляют спиновую и бесспиновую амплитуды рассеяния. При $T = -\mu^2$ эти амплитуды соответствуют амплитудам реального π -N рассеяния. Разложение амплитуд f_1 и f_2 по парциальным волнам, в случае учета только S- и P-состояний, имеет вид:

$$f_1(U, D, T) = c_1 [\Gamma_{S31}(U, T) + 3\Gamma_{P33}(U, T) \cos(D)] + c_2 [\Gamma_{S11}(U, T) + 3\Gamma_{P13}(U, T) \cos(D)],$$

$$f_2(U, D, T) = c_1 [\Gamma_{P31}(U, T) - \Gamma_{P33}(U, T)] + c_2 [\Gamma_{P11}(U, T) - \Gamma_{P13}(U, T)]. \quad (26)$$

Значения коэффициентов c_1 и c_2 , учитывающих изоспиновую структуру вершин в диаграммах рис. 1 для реакций (1) и (2), приведены в таблице 3.

В выражения для наблюдаемых на опыте величин входят инвариантные амплитуды π -N рассеяния. Сравнивая (14) и (25), инвариантные амплитуды можно выразить через f_1 и f_2 :

Таблица 3

Реакция	$p + p \rightarrow p + n + \pi^+$				$p + p \rightarrow p + p + \pi^0$			
	1	2	3	4	1	2	3	4
c_1	$\sqrt{2}$	$\sqrt{2}$	$\sqrt{2}/3$	$\sqrt{2}/3$	$2/3$	$2/3$	$2/3$	$2/3$
c_2	0	0	$-\sqrt{2}/3$	$-\sqrt{2}/3$	$1/3$	$1/3$	$1/3$	$1/3$

$$a(U, D, T) = 4\pi \left\{ \frac{\sqrt{U+m}}{\sqrt{(E_1+m)(E_2+m)}} \Gamma_1 - \frac{\sqrt{U-m}}{\sqrt{(E_1-m)(E_2-m)}} \Gamma_2 \right\},$$

$$b(U, D, T) = -4\pi \left\{ \frac{\Gamma_1}{\sqrt{(E_1+m)(E_2+m)}} + \frac{\Gamma_2}{\sqrt{(E_1-m)(E_2-m)}} \right\}. \quad (27)$$

В работе /13/ было показано, что зависимость амплитуды Γ_{P33} виртуального π -N рассеяния от T дается выражением

$$\Gamma_{P33}(U, T) = \frac{\Gamma^B(U, T)}{\Gamma^B(U, -\mu^2)} \Gamma_{P33}(U, -\mu^2), \quad (28)$$

где

$$\Gamma^B = g^2 \left\{ \frac{\sqrt{U-m}}{2\sqrt{U(E_1-m)(E_2-m)}} Q_1(\beta) - \frac{\sqrt{U+m}}{2\sqrt{U(E_1+m)(E_2+m)}} Q_2(\beta) \right\},$$

$Q_\ell(\beta)$ - функции Лежандра второго рода от аргумента

$$\beta = \frac{2E_1(\sqrt{U-E_2}-\mu^2)}{2PQ}.$$

Было показано также /13/, что зависимости от квадрата 4-импульса виртуального пиона T остальных парциально-волновых амплитуд, за исключением Γ_{S11} -амплитуды, не сильно отличаются от зависимости для Γ_{P33} -амплитуды (28). Поэтому остальные парциально-волновые амплитуды для виртуального рассеяния, кроме амплитуды Γ_{S11} , записывались в виде:

$$\Gamma_{L,21,2j}(U, T) = \frac{\Gamma^B(U, T)}{\Gamma^B(U, -\mu^2)} \Gamma_{L,21,2j}(U, -\mu^2). \quad (29)$$

Зависимости амплитуд виртуального рассеяния от квадрата полной энергии π -N системы U для всех состояний были найдены примерно такими же, как и на массовой поверхности. Что же касается T -зависимости Γ_{S11} -амплитуды для виртуального рассеяния, то она заметно отличается от T -зависимости Γ_{P33} -амплитуды. В настоящей работе, в соответствии с /13/, поведение Γ_{S11} -амплитуды вне массовой поверхности учитывалось с помощью дополнительной корректирующей функции, так что

$$\Gamma_{S11}(U, T) = \frac{\Gamma^B(U, T)}{\Gamma^B(U, -\mu^2)} \cdot \frac{1 - (T/\mu^2 + 1) / (\Delta_0^2/\mu^2 + 1)}{1 + (T/\mu^2 + 1) / \gamma} \Gamma_{S11}(U, -\mu^2). \quad (30)$$

Вычисления поляризации вторичных протонов в реакциях (1) и (2) производились для различных значений параметров Δ_0^2/μ^2 и γ .

Результаты вычислений

Для согласования вычисленных в рамках модели однопионного обмена энергетических спектров вторичных частиц в реакциях (1) и (2) с экспериментальными данными, помимо учета поведения амплитуд π -N рассеяния вне массовой поверхности, вводится функция $F(T)$ (см. формулу (13)), корректирующая вклад однопионного обмена при больших передачах импульса /6,13/. Этой функции придается смысл пионного формфактора нуклона. В настоящей работе, в соответствии с /15/, для формфактора использовалось выражение:

$$F(T) = \frac{9\mu^2}{T + 10\mu^2}. \quad (31)$$

Вычисление поляризации вторичных протонов для реакций (1) и (2) производилось путем численного интегрирования выражения (21). Зависимости поляризации вторичных протонов с энергией $T_1 = 376$ Мэв от угла испускания этих протонов в лаб. системе θ_1 находились при разных значениях параметров Δ_0^2/μ^2 и γ и в разных предположениях о формфакторе $F(T)$. Значения параметров, отвечающие разным вариантам расчета, приведены в таблице 4. На рис. 3 и 4 показаны угловые зависимос-

Таблица 4

Вариант расчета	$F(T)$	Δ_0^2/μ^2	γ
1	$9/(T/\mu^2 + 10)$	2,5	10
2	— " —	1,0	20
3	— " —	∞	∞
4	1	2,5	10

ти поляризации протонов в реакциях $pp \rightarrow pp \pi^+$ (1) и $pp \rightarrow pp \pi^0$ (2) соответственно, полученные для разных вариантов расчета. Видно, что значения поляризации для реакции (1) больше, чем для реакции (2). Это обусловлено различием весовых коэффициентов c_1 и c_2 в изоспиновом пространстве для реакций (1) и (2) (см. таблицу 3).

Из сравнения вариантов 1 и 2 с вариантом 3, который вычислялся без учета дополнительной корректирующей функции к $\Gamma_{S_{11}}$ — амплитуде виртуального π -N рассеяния, можно видеть, что для реакции (2) различие между этими вариантами проявляется значительно резче, чем для реакции (1). Этот эффект следовало ожидать заранее. Действительно, основной вклад в выражение для $S_{p_1} \gamma_5 \hat{p}_1 \rho_1$, определяющее величину поляризации, дают диаграммы 1 и 2 (см. формулу (22)). В то же время, как это видно из таблицы 3, значения коэффициента c_2 , характеризующего вклад S_{11} — состояния в разложение по парциальным волнам (26), в случае реакции (1) для 1 и 2 диаграмм равны нулю, а для реакции (2) составляют 1/3. Поэтому угловая зависимость поляризации протонов именно в реакции $pp \rightarrow pp \pi^0$ должна быть наиболее чувствительна к поведению $\Gamma_{S_{11}}$ — амплитуды вне массовой поверхности.

Наконец, сравнение варианта 1 с вариантом 4, вычисленным без учета формфактора, показывает, что наличие формфактора существенно сказывается на абсолютных значениях поляризации протонов как в реакции (1), так и в реакции (2), приводит к их увеличению, и не меняет заметно формы угловой зависимости поляризации.

Следует подчеркнуть, что поляризация вторичных нуклонов в реакциях одиночного образования пионов гораздо более чувствительна к пове-

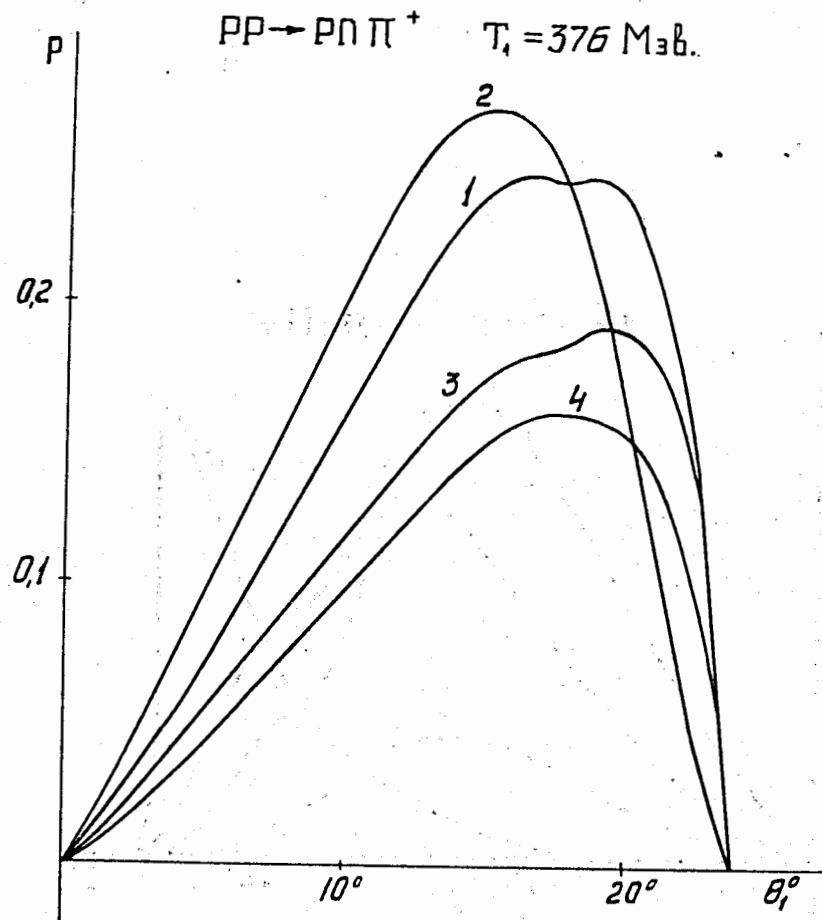


Рис.3. Угловая зависимость поляризации протонов с $T_1 = 376$ Мэв в реакции $pp \rightarrow pp \pi^+$ при энергии начальных протонов $T_0 = 669$ Мэв. Кривые 1-4 соответствуют вариантам расчета 1-4 таблицы 4.

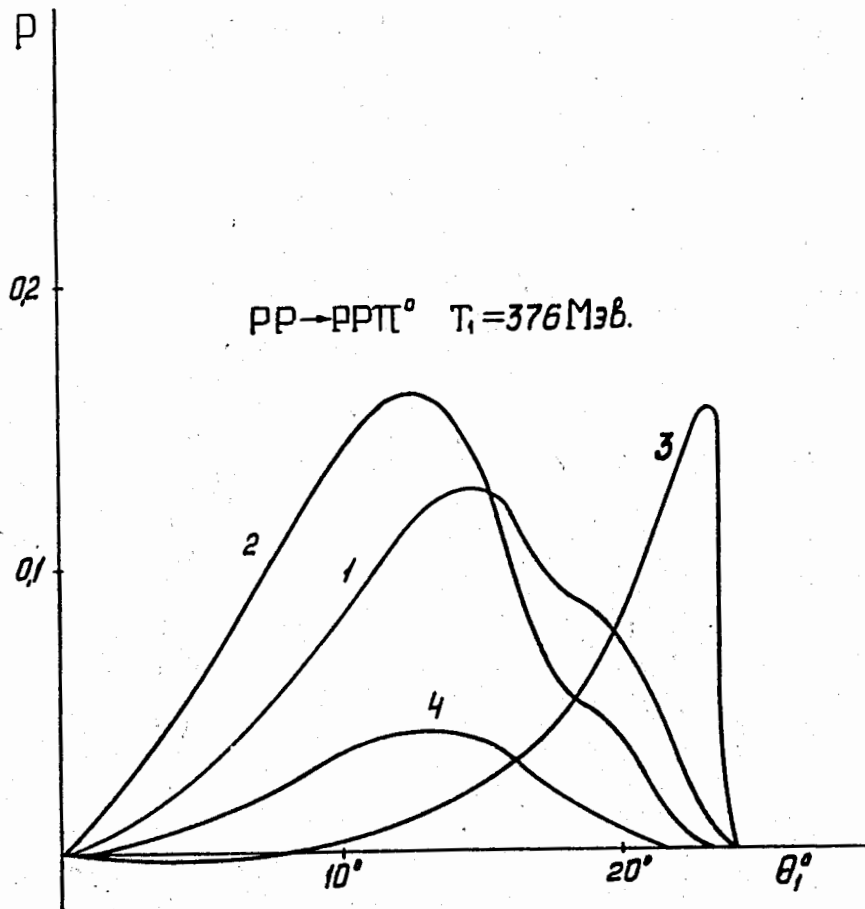


Рис.4. Угловая зависимость поляризации протонов с $T_1 = 376$ МэВ в реакции $pp \rightarrow pp \pi^0$ при энергии начальных протонов $T_0 = 669$ МэВ.

дению нерезонансных амплитуд $\pi-N$ рассеяния вне массовой поверхности, чем дифференциальные сечения. Если в разложениях (26) оставить только резонансное P_{33} -состояние, то поляризация может возникнуть только за счет интерференции между диаграммами 1 и 3, а также 2 и 4. Численные расчеты показывают, что величина этих членов при учете только P_{33} -состояния составляет $\approx 0,02$, в то время как вклад P_{33} -состояния в дифференциальные сечения является определяющим. Причиной возникновения поляризации в модели однопионного обмена является интерференция резонансной амплитуды $\pi-N$ рассеяния с нерезонансными, поэтому для вычисления поляризационных эффектов крайне важно знать их поведение вне массовой поверхности.

Поляризация вторичных протонов в процессах одиночного образования пионов является функцией двух переменных - угла испускания протонов в лаб. системе θ_1 и кинетической энергии протонов в той же системе T_1 . Чтобы качественно понять зависимость возникающей поляризации от обоих этих параметров, вычислялись угловые и энергетические распределения поляризации при некоторых фиксированных значениях T_1 или θ_1 , усредненные по реакциям (1) и (2). Эти расчеты производились для варианта 1 таблицы 4. Для нахождения усредненных значений поляризации \bar{P} использовалось соотношение

$$\bar{P} = \frac{\sigma^+ P^+ + \sigma^0 P^0}{\sigma^+ + \sigma^0}, \quad (32)$$

где индексы "+" и "0" относятся к реакциям (1) и (2), соответственно, а σ и σP представляют собой дифференциальное сечение и произведение дифференциального сечения на поляризацию, определенные формулами (19) и (20). На рис. 5 показаны угловые зависимости P при разных значениях T_1 , а на рис. 6 - энергетические зависимости P при различных значениях θ_1 . Видно, что максимального значения поляризации, усредненной по реакциям (1) и (2), следует ожидать для вторичных протонов с энергиями $T_1 \approx 400 + 450$ МэВ, регистрируемых под углами $\theta_1 \approx 10^\circ + 15^\circ$.

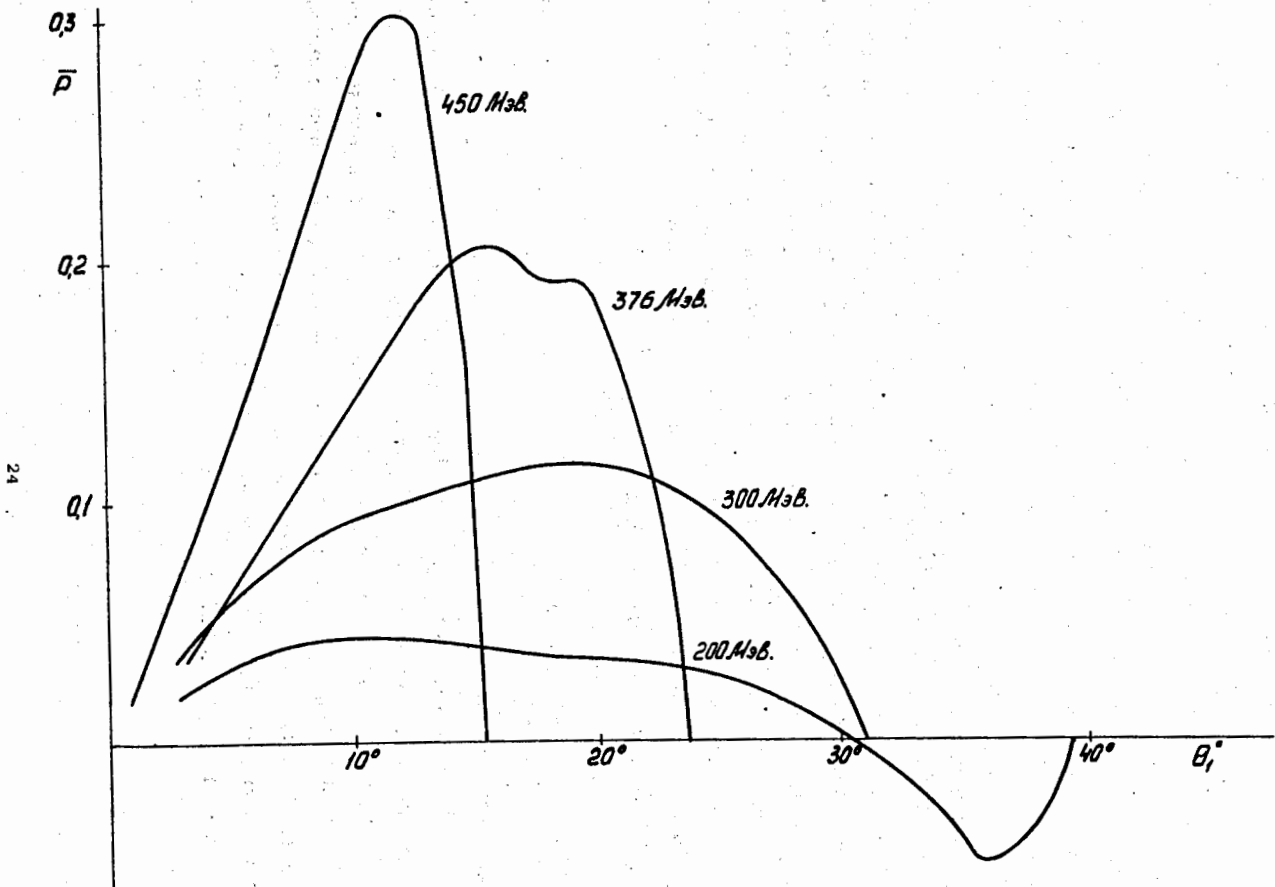


Рис.5. Угловые зависимости усредненной по реакциям (1) и (2) поляризации \bar{P} вторичных протонов при разных энергиях. Кривые приведены для варианта 1 таблицы 4.

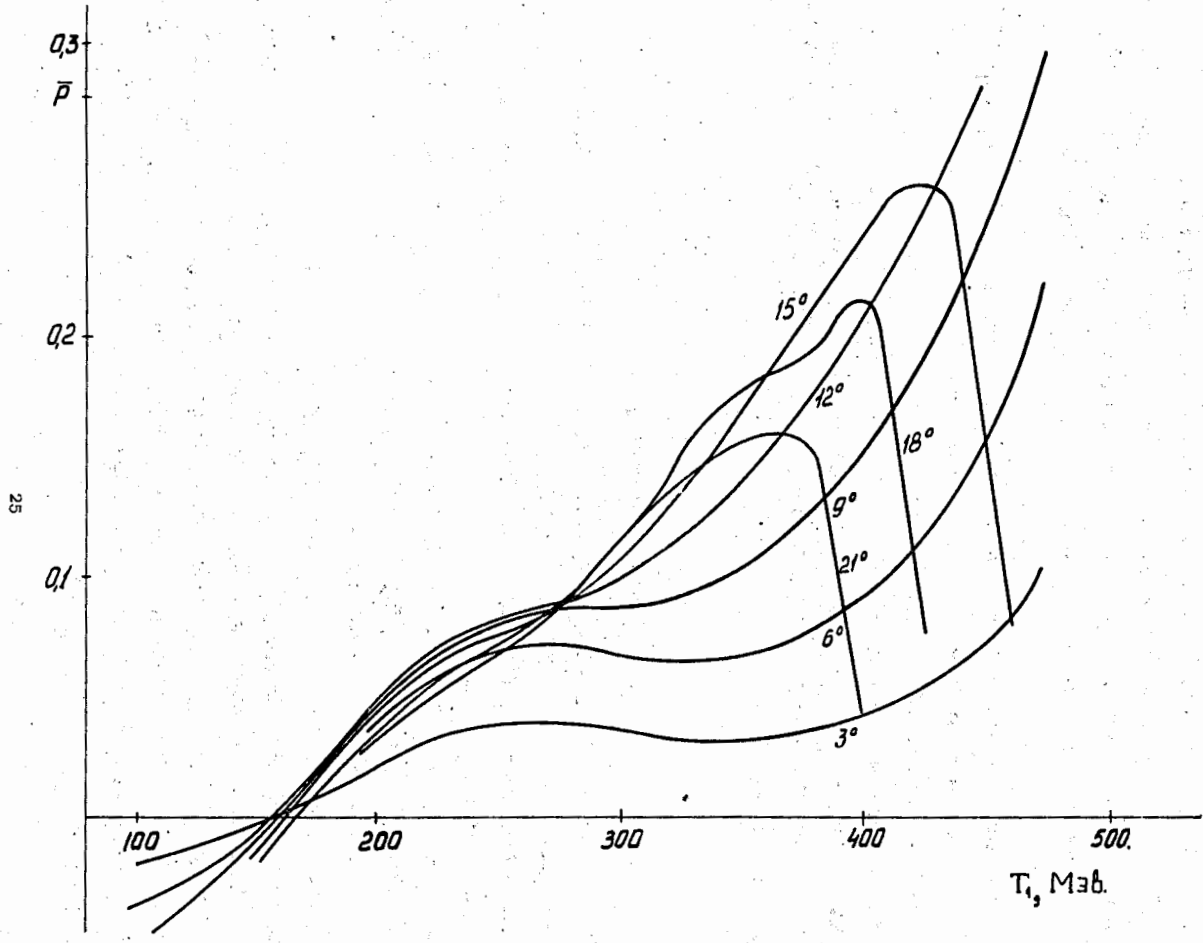


Рис.6. Энергетические зависимости \bar{P} при различных значениях угла вылета протонов θ_1 . Кривые вычислены для варианта 1 таблицы 4.

З а к л ю ч е н и е

Выполненные на основе однопионной обменной модели расчеты и проведенное рассмотрение позволяют сделать следующие выводы.

1. Поляризация вторичных протонов в реакциях одиночного образования пионов $pp \rightarrow pp\pi^+$ и $pp \rightarrow pp\pi^0$ возникает в результате интерференции резонансной P_{33} -амплитуды π -N рассеяния с нерезонансными.

2. Величина поляризации и форма ее угловой зависимости очень чувствительны к поведению амплитуд π -N рассеяния вне массовой поверхности и к предположениям о пионном формфакторе нуклона, вводимом в модели однопионного обмена.

3. Угловая зависимость поляризации протонов в реакции $pp \rightarrow pp\pi^0$ особенно чувствительна к поведению амплитуды S_{11} -состояния π -N системы вне массовой поверхности.

4. Экспериментальное исследование поляризации протонов в реакциях $NN \rightarrow NN\pi$ может служить хорошим тестом для проверки используемых в однопионной обменной модели предположений и для выяснения механизма одиночного образования пионов при энергии 669 Мэв.

Л и т е р а т у р а

1. V.E. Barnes, D.V. Bugg, W.P. Dodd, J.B. Kinson, L. Riddiford. *Phys.Rev.Letters*, 7, 288 (1961).
2. W.J. Fickinger, E. Pickup, D.K. Robinson, E.O. Salant. *Phys.Rev.*, 125, 2082 (1962).
3. G.A. Smith, H. Courant, E.C. Fowler, H. Kraybill, J. Sandweiss, H. Taft. *Phys.Rev.*, 123 2160 (1961).
4. F. Selleri. *Phys.Rev.Letters*, 6, 64 (1961).
5. G. Da Prato. *Nuovo Cimento*, 22, 123 (1961).
6. E. Ferrari, F. Selleri. *Suppl.Nuovo Cimento*, 24, 453 (1962).
7. E. Ferrari, F. Selleri. *Nuovo Cimento*, 27, 1450 (1963).
8. W. Buzza, D.G. Davis, B.G. Duff, R.E. Jennings, F.F. Heymann, D.T. Walton, E.H. Bellymy, T.F. Buckley, P.V. March, A. Stefanini, J.A. Strong. *Nuovo Cimento*, 42A, 871 (1966).

9. Л.С. Ажгирей, Н.П. Клепиков, Ю.П. Кумекин, М.Г. Мешеряков, С.Б. Нурушев, Г.Д. Столетов. *ЖЭТФ*, 45, 1174 (1963).
10. С.Б. Нурушев, В.Л. Соловьянов. *Препринт ОИЯИ Р-2382*, Дубна, 1965.
11. E. Ferrari, F. Selleri. *Nuovo Cimento*, 21, 1028 (1961).
12. J.D. Jackson. *Nuovo Cimento*, 34, 1644 (1964).
13. F. Selleri. *Nuovo Cimento*, 40A, 236 (1965).
14. A. Donnachie, in "Particle Interactions at High Energies", *Scottish Universities' Summer School*, 1966, p. 330.
15. U. Amaldi, Jr., R. Biancastelli, S. Francaviglia. *Nuovo Cimento*, 47, 85 (1967).

Рукопись поступила в издательский отдел

20 февраля 1970 года.